

اثرات اندرکنش و حرکت گهواره‌ای به سبب تسلیم شدن کف ستون‌ها بر روی پاسخ سازه‌های فولادی

غلامرضا هوائی^۱، احسان موبدی^۲

۱- استادیار، دانشکده مهندسی عمران، دانشگاه صنعتی امیرکبیر

۲- دانشجوی دکتری عمران سازه، دانشکده فنی و مهندسی، دانشگاه علم و فرهنگ

چکه

در روند معمول برای طراحی سازه‌ها معمولاً از تغییر مکان قائم تکیه گاه‌ها و اثر اندرکنش سازه و خاک صرف نظر شده و تکیه گاه‌ها صلب فرض می‌شوند، در حالی که حین وقوع زلزله، سازه معمولاً دچار حرکت گهواره ای شده و فرض گیردار بودن کف ستون و عدم در نظر گرفتن اندرکنش، که از آن برای آنالیز و طراحی استفاده می‌شود، زیر سوال می‌رود. هدف این مطالعه بررسی اثر اندرکنش و ایجاد حرکت گهواره‌ای به سبب تسلیم شدن کف ستون‌ها بر روی پاسخ سازه‌های فولادی می‌باشد که در این راستا پاسخ سازه‌های سه، پنج و هفت طبقه فولادی مهاربندی شده همگرا و خمی در دو حالت وجود و عدم حرکت گهواره ای تحت آنالیز دینامیکی مورد بررسی قرار گرفته است. نتایج آنالیز‌ها موید این امر هستند که تحلیل عملکرد سازه با لحاظ نمودن حرکت گهواره ای و اندرکنش منجر به کاهش پاسخ‌های سازه از جمله برش پایه، نیروی محوری، انرژی کرنشی می‌شود.

کلمات کلیدی: حرکت گهواره‌ای، اندرکنش، تسلیم شدن، کف ستون، آنالیز دینامیکی

Effect of Interaction and Rocking Motion on The Earthquake Response of Buildings

Gholamreza Havaei^۱, Ehsan Mobedi^۲

1- Assistant Professor, Department of Civil Engineering, Amirkabir University of Technology

2- PhD Student in Structural Engineering, Department of Civil Engineering, Science and Culture University

Abstract

Usually structures are designed under codes based on the assumption that the soil stiffness is infinite, so the foundation rests firmly on the soil. In many cases, the overturning moment due to the lateral forces may exceed the resisting moment due to the gravity forces. Thus, this may cause a foundation uplift because in reality the soil stiffness is not infinite and the structure stands up under gravity forces. The phenomenon of foundation uplifting and its impact on the soil are known as the rocking motion. This study investigates the influence of the rocking motion and interaction by the yielding base plates on the nonlinear behavior of steel structures under dynamic

* مؤلف مسئول: غلامرضا هوائی، havaei @aut.ac.ir

تاریخ دریافت مقاله: ۹۳/۱/۲۸، تاریخ پذیرش مقاله: ۹۳/۱۱/۳۰

analysis. More specifically, Three- five and seven -storied structures are designed with ordinary ductility, then the structures are analyzed in rigid and deformable base plate cases with using the ABAQUS software. The results show that the rocking motion and Interaction decrease the response of buildings such as the base shear, the axial force of columns and the strain energy but also increase the natural period.

Keywords: Rocking motion, Interaction, Yielding base plate, Dynamic analysis, Finite element

۱- مقدمه

اندرکنش خاک و سازه از مهمترین مسائلی است که در طراحی لرزه ای مطرح می باشد و در سالهای اخیر توجه خاصی به این امر شده است. در بسیاری از طراحی های معمول که بر اساس آئین نامه های موجود و انجام می پذیرد فرض بر این است که پی صلب بوده و امکان جدا شدن آن از روی خاک وجود ندارد، یکی از نتایج این فرض حصول به ارزیابی دست پایینی از پریود نوسان سازه (در قیاس با پریود واقعی آن) و در نتیجه تخمین دست بالایی از برش پایه می باشد اما این در حالی است که سختی خاک محدود بوده و امکان ایجاد حرکت گهواره ای در فونداسیون وجود دارد [۱].

هنگامی که لنگر واژگونی ناشی از نیروهای جانبی زلزله از لنگر مقاوم ناشی از بارهای ثقلی فراتر می رود موجب وقوع حرکت گهواره ای می شود و این وضعیت تا زمانی که لنگر واژگونی از بار ثقلی، کمتر شود ادامه خواهد داشت. در ابتدای امر مهندسین برای ممانعت از وقوع چنین امری، سعی در یکپارچه نمودن فونداسیون با زمین داشتند که خود هزینه های گرافی به بار می آورد. ولی تحلیل های اخیر به خصوص بررسی های انجام شده بر روی میز لرزه (Shake table) و پاسخ غیرخطی سازه ها با فرض حرکت گهواره ای نشان داده است که نیازی به جلوگیری از این امر نیست، بلکه این پدیده خود باعث کاهش نیروهای اعمالی بر روی سازه و نیز کاهش تغییر شکل در سازه می شود. هم اکنون استفاده از ایده حرکت گهواره ای بعنوان روشی برای کاهش عملکرد غیر خطی محتمل در سازه پل ها، بعنوان یک روش بهینه مورد توجه قرار گرفته است.

با بررسی دلایل عملکرد خوب برخی سازه ها در زلزله شیلی در سال ۱۹۶۰ [۲] دریافت که حرکت گهواره ای دلیل چنین عملکردی در سازه های به ظاهر ناپایدار، حین وقوع زلزله بوده است، لذا در راستای بررسی اثر حرکت گهواره ای در پاسخ سازه ها، وی اولین بررسی تحلیلی را روی پاسخ یک بلوک صلب در حالت نوسان آزاد با حرکت گهواره ای انجام داد و با انتشار مقالات وی مطالعات زیادی در این زمینه انجام گرفت. سپس Meek [۳] پاسخ یک سیستم انعطاف پذیر با حرکت گهواره ای و اندرکنش را به صورت تجربی بررسی نمود. Chopra و Yim [۴] روشی ساده برای محاسبه برش پایه سیستم های چند درجه آزادی با حرکت گهواره ای و لحظه اثر اندرکنش را مبتنی بر استفاده از طیف طراحی معمول (که بر اساس جدالشدن سازه از خاک میباشد) با اصلاح پریود نوسان و میرایی سازه برای درنظر گرفتن اثر حرکت گهواره ای ارائه نمودند. Gazetas [۵] نشان داد که با وجود اثرات کاهنده حرکت گهواره ای، در مواردی این حرکت منجر به تشديد پاسخ با نزدیک کردن پریود نوسان سازه به پریود غالب در محتوای فرکانسی زلزله شده و اثرات مخربی در پی داشته است. از طرفی وی به این مسئله اشاره کرد که با کنار گذاشتن فرض معمول طراحی پی مبتنی بر غیر خطی نشدن خاک میتوان از رفتار غیر خطی خاک برای کاهش بار زلزله روی سازه استفاده نمود. Azuhata [۶] به آزمایش توسط میز لرزه ای برای مقایسه پاسخ لرزه ای سازه ای گهواره ای که صفحه زیر ستون تسلیم شونده دارند با سیستم های پای گیردار پرداخت. به علاوه وی روش ساده ای برای پیش بینی برش پایه که در آن سیستم های صفحه زیر ستون تسلیم شونده شروع به حرکت گهواره ای می کنند با استفاده از سیستم تک جرمی معادل ارائه کرد. این محقق نتیجه گرفت که سیستم های صفحه زیر ستون تسلیم شونده به طور اثر بخشی می توانند پاسخ لرزه ای سازه را کاهش دهند.

در مطالعه حاضر به بررسی اثر اندرکنش و حرکت گهواره‌ای بر روی رفتار غیر خطی سازه‌های فولادی مهاربندی شده همگرا و خمشی در قاب‌های سه، پنج و هفت طبقه با استفاده از آنالیز دینامیکی در دو حالت کف ستون صلب و کف ستون با حرکت گهواره‌ای و ایجاد انعطاف‌پذیری و اثر اندرکنش در آن پرداخته شده است.

۲- صحبت سنجی

در این پژوهش به صحبت سنجی نتایج یک مقاله در ارتباط با موضوع طرح شده پرداخته شده است و از درستی و دقیقت برنامه کامپیوتری مورد استفاده که نرم افزار ABAQUS 7 [۱] می‌باشد، اطمینان حاصل گردیده است که در این راستا یک ساختمان فولادی سه طبقه با مقیاس $\frac{2}{3}$ مدل واقعی که توسط Midorikawa 6 [۲] مورد آزمایش قرارداده شده را توسط برنامه مدل سازی کرده و نتایج خروجی آن به صورت زیر می‌باشد:



شکل (۱) مدل فیزیکی کف ستون تسلیم شونده

جدول (۱) مقایسه مقادیر حداقل تغییر مکان و بلند شدگی

تغییر مکان جانی	بلند شدگی	حالت
۲۷/۴ سانتیمتر	۹/۷ سانتیمتر	میز لرزان
۳۱/۸ سانتیمتر	۱۱/۱ سانتیمتر	مدل سازی
۱۳/۸ درصد	۱۲ درصد	اخلاف

۳- سازه‌های مورد مطالعه

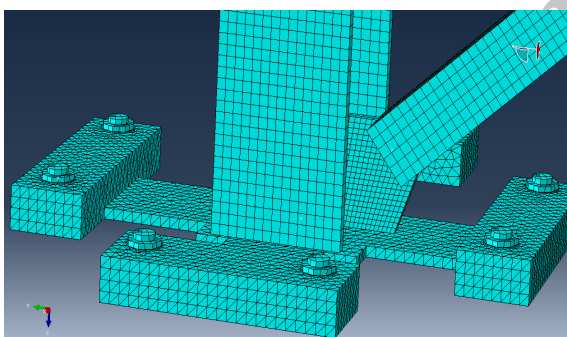
مدل‌های مورد مطالعه، قاب‌های ۳ بعدی سه، پنج و هفت طبقه‌ای هستند که دارای دو دهانه در جهت طولی (X) و یک دهانه در جهت عرضی (Y) می‌باشند که مقدار دهانه‌ها در جهت طولی ۴ متر و در جهت عرضی ۳ متر می‌باشد. ارتفاع طبقات در طبقه اول $2/8$ متر و در دیگر طبقات $3/2$ متر در نظر گرفته شده است مقاطع مورد استفاده برای ستون‌ها، تیرها و بادبندها به ترتیب IPE BOX، UNP و IPE می‌باشد که به عنوان نمونه برای قاب پنج طبقه فولادی همگرا داریم:

جدول (۲) مشخصات هندسی قاب پنج طبقه فولادی همگرا

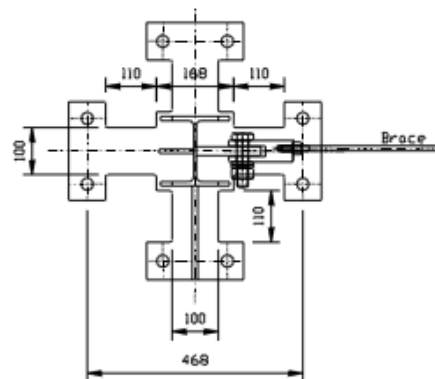
بادبند	ستون	طبقه	
2UNP80	Box 150x15	IPE 270	1
2UNP80	Box 150x15	IPE 240	2
2UNP80	Box 150x10	IPE 240	3
2UNP80	Box 150x10	IPE 240	4
2UNP80	Box 150x10	IPE 220	5

در انتهای هر ستون، کف ستون هایی مطابق شکل های (۲) و (۳) قرار گرفته است که برای ایجاد حرکت گهواره ای و بلندشدن سازه، دارای ۴ بال به ضخامت ۱۵ میلیمتر هستند که در انتهای این بال ها، ورق هایی با ضخامت ۴۰ میلیمتر قرار گرفته شده که نقش تکیه گاه را ایفاء می کنند.

برای فولاد مورد استفاده در این مدل، از مدل دو خطی ایزوتروپیک^۱ با معیار تسليم $\sigma_y = 240 \frac{N}{mm^2}$ استفاده شده و فرض گردیده است که پس از رسیدن به نقطه تسليم، منحنی تنش کرنش به صورت خطی ادامه يابد.



شکل (۳) مدل اجزاء محدود کف ستون تسليم شونده

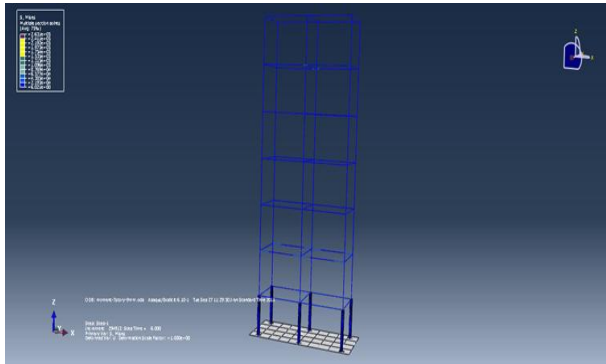


شکل (۲) مشخصات هندسی کف ستون تسليم شونده

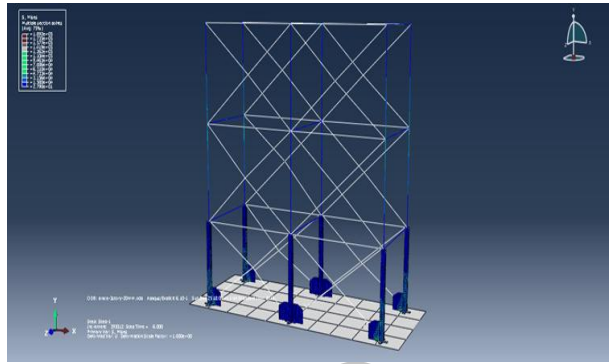
۴- مدل اجزاء محدود

آنالیز اجزا محدود قابها با استفاده از نرم افزار ABAQUS 7 [۱] بصورت سه بعدی انجام گردید، که به عنوان نمونه در شکل های ۴ و ۵ برای قابهای فولادی ۳ و ۷ طبقه همگرا و خمثی نشان داده شده است.

در مدل سازی اجزاء سازه برای کف ستون و ستونهای طبقه اول از المان Shell و برای تیرها، بادبند ها و ستونهای دیگر طبقات از المان Wire استفاده شده است. در مدل سازی کف ستون مطابق شکل (۳) فرض شده است که انتهای بال ها به صورت گیردار است چراکه این بال ها به ورق هایی با ضخامت بالا متصل می شوند که نقش تکیه گاه را دارند.



شکل (۵) قاب فولادی هفت طبقه خمثی



شکل (۴) قاب فولادی سه طبقه مهاربندی شده همگرا

برای بررسی اثر اندرکنش، دو حالت تماس مماسی و قائم در نظر گرفته شده است، به طوری که در حالت تماس قائم خصوصیات تماس سخت^۱ لحاظ شده، یعنی دو قطعه اجزا نفوذ در یکدیگر را ندارند و همچنین اگر نیروهایی در آنها بوجود آید که موجب فاصله گرفتن آنها از هم شود، برنامه این اجزا را به آنها می‌دهد.

همچنین در حالت تماس مماسی، ضریب اصطکاک $0.3/0$ در اندرکنش بین کف ستون و سطح زیرین آنها لحاظ شده است که این ضریب از آزمونهای حساسیت انجام شده بدست آمده است، چرا که کم بودن این ضریب، باعث بوجود آمدن واگرایی در پاسخ‌ها و یا دست یابی به جواب غلط می‌شود و از طرفی بیش از حد زیاد کردن این ضریب، باعث بیش از حد زیاد شدن زمان انجام تحلیل می‌شود. بلتوچه به رفتار غیر خطی المان‌های تماسی^۲، برای تحلیل مدل ساخته شده از تحلیل غیر خطی دینامیکی استفاده می‌شود.

برای بارگذاری مدل، از شتاب نگاشت El Centro NS که در قسمت صحبت سنجی مورد استفاده قرار گرفت، استفاده شده است.^[۶] شایان ذکر است که قبل از انجام تحلیل بارگذاری تاریخچه زمانی، سازه تحت اثر بارهای ثقلی تحلیل شده است و نیروها و تغییر مکان‌های ایجاد شده در سازه در اثر تحلیل با بارهای وزنی، به عنوان شرایط اولیه در شروع تحلیل تحت شتاب نگاشت، به مدل تحمیل شده است که علت آن را می‌توان برای جلوگیری از طولانی شدن بیش از حد آنالیز و نیز حصول به پاسخ‌های حداقل دانست.

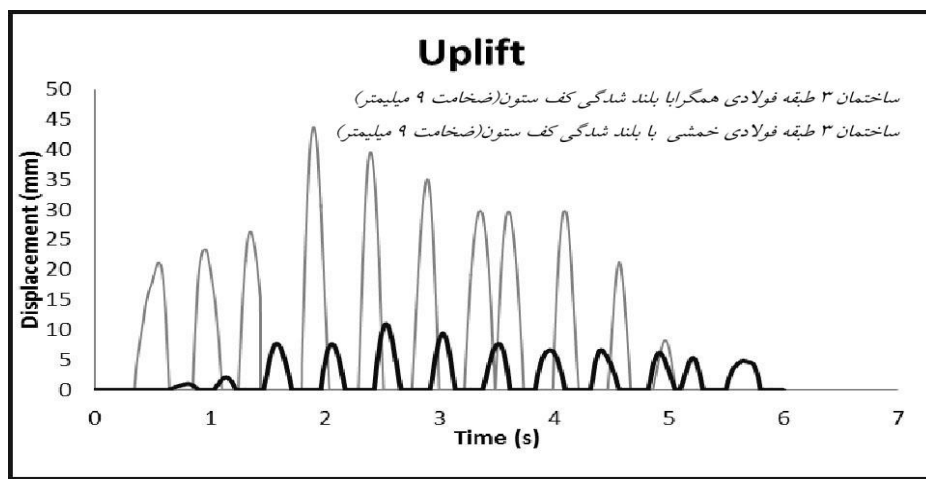
۵- نتایج آنالیز سازه‌های مورد مطالعه

۱- بلندشدگی

از آنجائیکه مقادیر تغییر مکان عمودی (U_y) در زیر کف ستون‌ها، می‌تواند معرف بلندشدگی در سازه باشد لذا در شکل (۶) تغییرات تاریخچه زمانی U_y در سازه‌های فولادی مهاربندی شده و خمثی سه طبقه بررسی شده است.

همان طوری که در شکل مشاهده می‌شود ماکریم بلندشدگی در هر دو سازه در لحظه‌ای به وقوع پیوسته است که شتاب واردہ از طرف شتاب نگاشت El Centro NS در حدوه همین لحظات، ماکریم مقدار خود را دارد، همچنین میزان بلند شدگی کف ستون در سیستم قاب خمثی کمتر از مقدار بلندشدگی کف ستون در سیستم دارای مهار جانبی است که این مطلب می‌تواند ناشی از افزایش سختی قاب و در نتیجه صلب‌تر شدن قاب مهار جانبی نسبت به قاب خمثی باشد.

1- Hard contact
2- Contact



شکل (۶) تاریخچه زمانی تغییرات U_y در لبه راست و زیر کف ستون تسلیم شونده در سازه های فولادی مهاربندی شده و خمسمی

همچنین شایان الذکر است که به علت غیر خطی لحظه کردن مصالح در آنالیزها، سازه ها نرمتر شده و جذب انرژی آن نسبت به حالتی که رفتار مصالح در محدوده خطی باشد، کمتر شده و لذا نیروهای ایجاد شده در سازه کمتر و در نتیجه تمایل سازه برای بلند شدگی کمتر و میزان بلند شدگی کمتر خواهد بود.

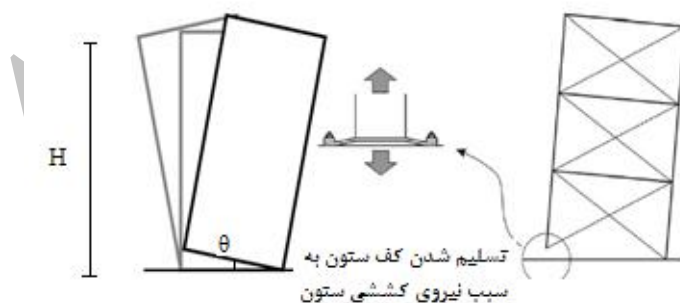
همچنین میزان بلند شدگی با افزایش تعداد طبقات مورد ارزیابی قرار گرفته است و حاکی از این است که افزایش تعداد طبقات باعث افزایش بلند شدگی می شود و لذا این بلند شدگی بیشتر سبب کاهش نیرو و تغییر مکان های خمسمی می شود.

۲-۵- تغییر مکان جانبی

در سازه های که کف ستون آن دچار بلند شدگی شده است، تغییر مکان جانبی را می توان ناشی از دو عامل دانست:

(۱) تغییر مکان های خمسمی (U_x)

(۲) تغییر مکان های جانبی ناشی از تسلیم شدن کف ستون $H\theta$ که در شکل (۷) نشان داده شده است.

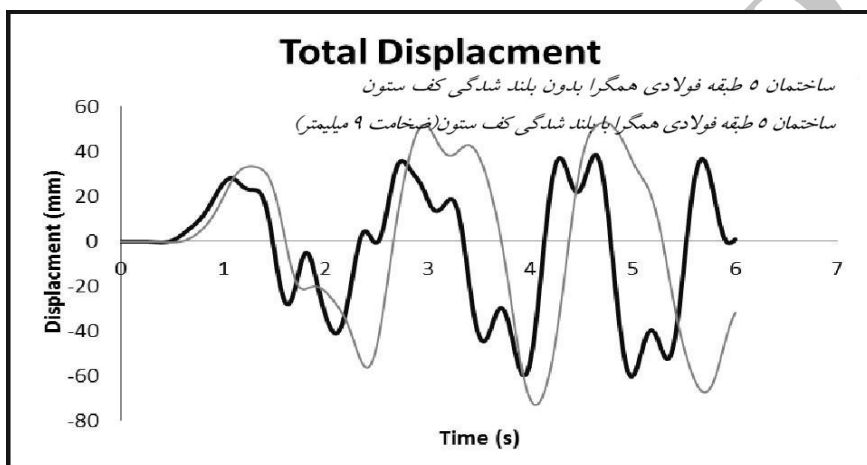


شکل (۷) تغییر مکان جانبی سازه ناشی از تسلیم شدن کف ستون

اما تغییر مکانی که اهمیت بیشتری بر روی سازه دارد، همان تغییر مکان های خمسمی (U_x) می باشد و با توجه به نتایج بدست آمده، حرکت گهواره ای به سبب بلند شدگی کف ستون سبب کاهش تغییر مکان های خمسمی سازه شده و سبب الاستیک ماندن بیشتر اعضای سازه می شود، بنابراین می توان چنان بیان نمود که اگر تغییر مکان های مجموع، از مقدار مجاز آین نامه ای تجاوز نکند، بلند شدگی کف ستون می تواند اثرات سودمندی در رابطه با تغییر مکان های جانبی در ساختمان داشته باشد.

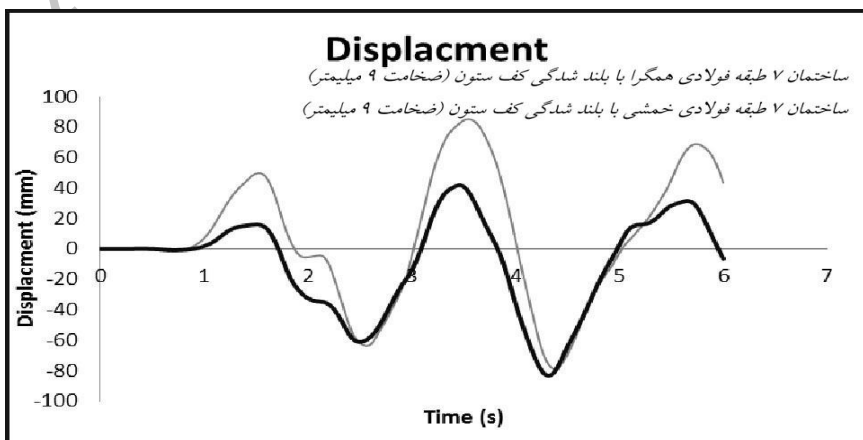
در شکل (۸)، نمودار تاریخچه زمانی تغییر مکان مجموع، در نقطه‌ای در بالای ساختمان مشاهده می‌شود. همان گونه که در این شکل مشاهده می‌شود بین پاسخ حداکثر سازه در حالت با و بدون بلندشدنگی از لحاظ زمانی اختلاف وجود دارد، و همان گونه که مشاهده می‌شود پاسخ‌های حداکثر در سازه دارای بلندشدنگی، بعد از پاسخ حداکثر در سازه بدون بلندشدنگی رخ می‌دهد. این مطلب که با تحقیقات Yim و [Chopra ۴] مطابقت دارد را شاید بتوان ناشی از دیرتر رسیدن امواج زلزله به گره بالای ساختمان در سازه مجاز به بلندشدنگی دانست.

همچنین از نمودار تاریخچه زمانی تغییر مکان واضح است که قبل از شروع بلندشدنگی در یک لبه، مقادیر تغییر مکان مجموع در دو سازه تقریباً بر هم منطبق می‌باشند، اما پس از وقوع بلندشدنگی، این نظم برقرار نبوده و در بعضی از حالت تغییر مکان سازه مجاز به بلندشدنگی بیشتر از حالت گیردار شده است.



شکل (۸) مقایسه حداکثر تغییر مکان مجموع، با و بدون بلندشدنگی در سازه فولادی پنج طبقه همگرا

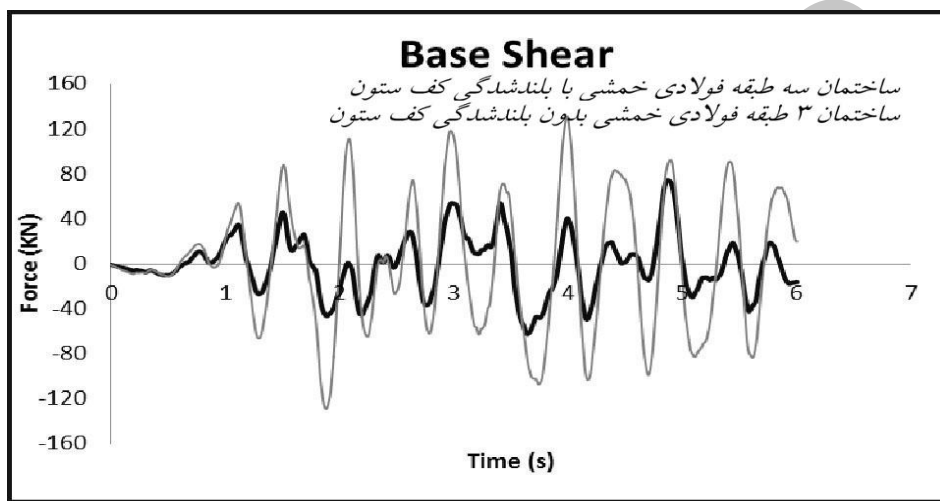
همچنین با افزایش ضخامت، مقدار برش پایه به علت کاهش بلندشدنگی، کاهش می‌یابد. البته مقدار برش پایه در حالت کلی با افزایش ضخامت باز هم همچنان از مقدار برش پایه در حالت فیکس شده و عدم تسییم کف ستون، کمتر است. در شکل (۹) مشاهده می‌شود که اختلاف تغییر مکان جانبی در گره بالای سازه، در سیستم‌های دارای مهاربند، بیشتر از سیستم قاب خمی است. علت را می‌توان ناشی از صلب تر بودن سیستم دارای مهاربندی جانبی دانست که در این حالت سهم پارامتر H_0 در تغییر مکان جانبی کل در این سیستم‌ها بیشتر از قاب خمی تنها است و این اختلاف در طبقات پایین تر به علت کم بودن تغییر مکان خمی آشکارتر است.



شکل (۹) مقایسه حداکثر تغییر مکان مجموع، بین دو سازه فولادی هفت طبقه خمی و مهاربندی شده همگوا

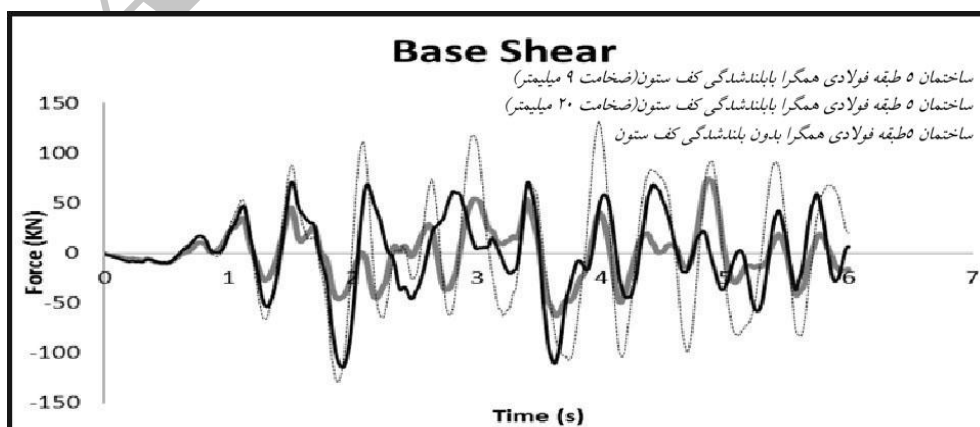
۳-۵- برش پایه

در سازه با کف ستون های مجاز به بلندشدگی سختی کل سازه در مقابله بارهای جانبی کمتر می شود، لذا انتظار می رود که حرکت گهواره ای، باعث کاهش مقدار برش پایه در اغلب شرایط سازه ای شود. در شکل (۱۰) مشاهده می شود که تا قبل از آغاز بلندشدگی، یعنی در لحظات ابتدایی ارتعاش، برش پایه در هر دو حالت (بلندشدگی و عدم بلندشدگی کف ستون) یکسان است، اما با شروع بلندشدگی کف ستون، برش پایه در سازه مجاز به بلندشدگی کمتر خواهد شد . همچنین دیده می شود که پس از شروع بلندشدگی، شکل پاسخ برش پایه هم تفاوت هایی در دو سازه مذکور خواهد داشت، چراکه در تمام مدت وقوع بلندشدگی بر اثر تسیلیم شدن کف ستون در یک طرف، سازه در طرف دیگر خود ارتعاش می کند که این امر می تواند باعث بروز اختلاف در شکل پاسخ برش پایه در دو سازه مذکور گردد.



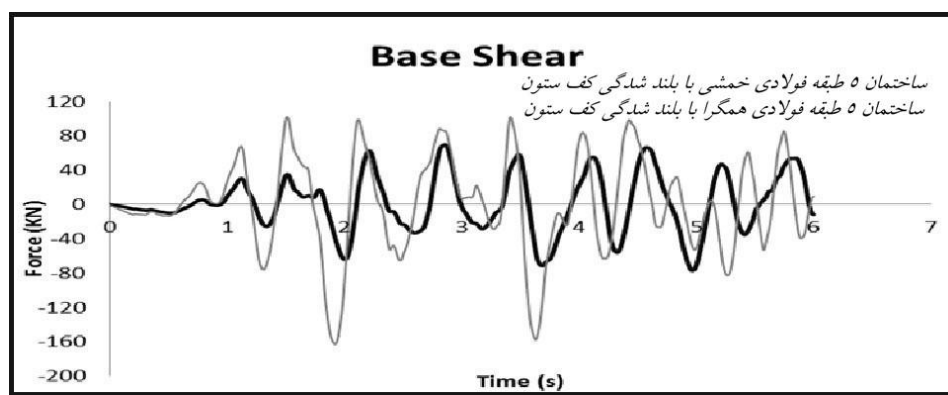
شکل (۱۰) مقایسه تاریخچه زمانی برش پایه، در سازه فولادی سه طبقه خمینی در حالت با و بدون بلندشدگی کف ستون

در شکل (۱۱) ملاحظه می شود که با افزایش ضخامت در حالت تسیلیم شدن کف ستون ها و ایجاد حرکت گهواره ای، برش پایه افزایش می یابد اما همچنان این مقادیر از حالت کف ستون گیردار شده کمتر است، که علت آن را می توان افزایش سختی کف ستون با افزایش ضخامت آن دانست که این امر سبب کاهش بلند شدگی کف ستون و کاهش استهلاک انرژی زلزله می شود.



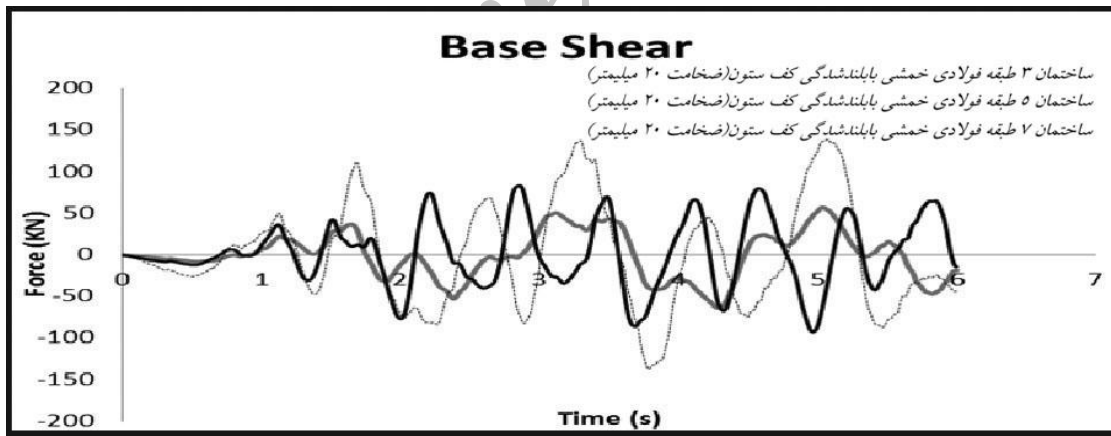
شکل (۱۱) مقایسه تاریخچه زمانی برش پایه، در سازه فولادی پنج طبقه همگرا در حالت با (افزایش ضخامت) و بدون بلندشدگی کف ستون

در شکل (۱۲) مشاهده می شود که مقدار برش پایه، به علت افزایش سختی، در سیستم های دارای مهاربند بیشتر از سیستم قاب خمشی تنها است. از نتایج آنالیزها مشاهده می شود که میزان اختلاف برش پایه بین دو سازه بدون و با بلندشدگی کف ستون به سبب تسليم شدن آن، در سیستم قاب فولادی مهاربندی بیشتر از قاب خمشی تنها است که دلیل آن میزان بلند شدگی بیشتر کف ستون در سیستم مهارجانبی (به علت افزایش سختی قاب و در نتیجه صلب تر شدن قاب) نسبت به قاب خمشی تنها دانست.



شکل (۱۲) مقایسه تاریخچه زمانی برش پایه، در سازه فولادی پنج طبقه همگرا و خمشی

در شکل (۱۳) مشاهده می شود که مقدار برش پایه، با افزایش تعداد طبقات و افزایش ارتفاع سازه افزایش می یابد که دلیلی بر صحبت نتایج می باشد چراکه با از افزایش ارتفاع سازه، نیروی بروشی افزایش خواهد یافت.



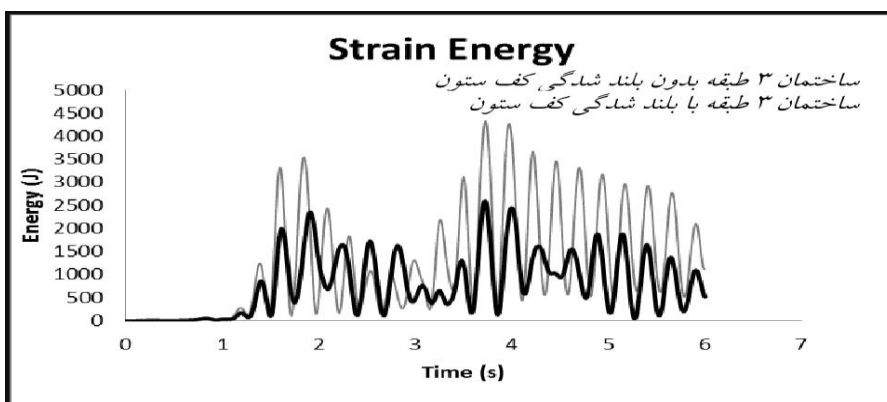
شکل (۱۳) مقایسه تاریخچه زمانی برش پایه، در سازه فولادی خمشی با افزایش ارتفاع طبقات در حالت بلندشدگی کف ستون

۵-۵- انرژی کرنشی

از آنچایی که انرژی کرنشی از حاصل ضرب تنش محوری در کرنش محوری عضو بدست می آید، و با توجه به اینکه هم نیرو و هم تغییر شکل در سازه با کف ستون مجاز به بلندشدگی با توجه به نتایج بدست آمده در قسم مت های قبل کمتر از سازه با کف ستون گیردار شده می باشد، لذا انتظار می رود که انرژی کرنشی اعضاء در سازه با کف ستون مجاز به بلندشدگی نیز کمتر باشد.

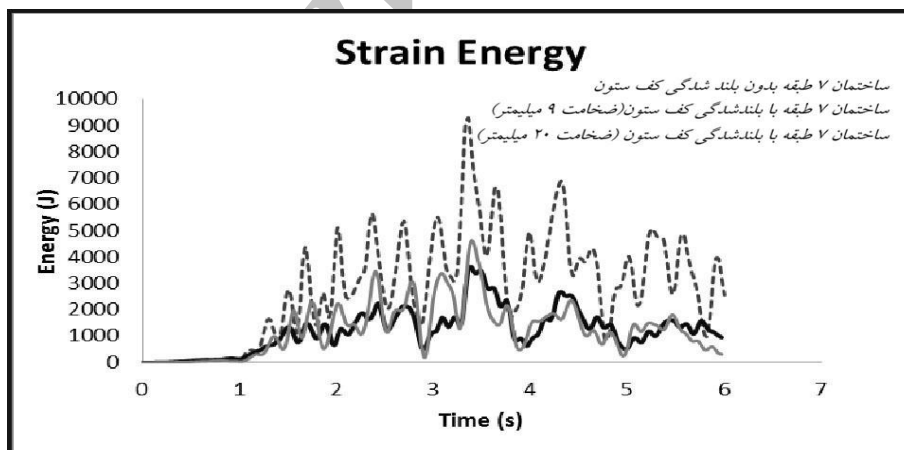
در شکل (۱۴) همچنین مشاهده می شود که بیشترین مقدار اختلاف بین مقادیر انرژی کرنشی در دو حالت با و بدون بلندشدگی کف ستون، مربوط به زمانی است که در آن بیشترین مقدار بلندشدگی کف ستون رخداده است در حالتی که قبل از وقوع بلند شدگی، مقادیر انرژی کرنشی

در سازه با و بدون بلندشدگی کف ستون یکسان می‌باشد و همچنین کاملاً واضح است در لحظات پایانی زلزله که لنگر واژگونی وارد بر سازه نگر مقاوم ناشی از بارهای وزنی کمتر نمی‌بود، تفاوت مقادیر انرژی کرنشی در دو سازه مذکور رو به کاهش وقوع دارد. در مجموع همان گونه که انتظار می‌رفت انرژی کرنشی اعضاء وقتی بلندشدگی کف ستون مجاز باشد، کمتر از مقدار مشابه در حالتی است که کف ستون مجاز به بلندشدگی نباشد.



شکل (۱۴) مقایسه تاریخچه زمانی انرژی کرنشی، در سازه سه فولادی همگرا در حالت با و بدون بلندشدگی کف ستون

همان طور که در شکل (۱۵) دیده می‌شود در سازه فولادی مهاربندی شده با وجود افزایش ضخامت (از ۹ میلیمتر به ۲۰ میلیمتر)، همچنان انرژی کرنشی از حالت گیردار کمتر است، چراکه با وجود افزایش ضخامت کف ستون، سازه اجازه بلند شدن گی و ایجاد حرکت گهواره ای را دارد که این خود دلیل بر کاهش پاسخ سازه و استهلاک انرژی ورودی زلزله می‌باشد.



شکل (۱۵) مقایسه تاریخچه زمانی انرژی کرنشی، در سازه فولادی مهاربندی شده در حالت با (افزایش ضخامت) و بدون بلندشدگی کف ستون

۶- نتیجه‌گیری

در این مقاله اثر حرکت گهواره ای و اندرکنش به سبب تسلیم شدن کف ستون هایی با مشخصات هندسی خاص بر روی پاسخ سازه های فولادی مهاربندی شده همگرا و خمثی مورد مطالعه و بررسی قرار گرفت که نتایج حاصل را می‌توان به شرح زیر خلاصه کرد:

- (۱) حرکت گهواره‌ای باعث ایجاد رفتار غیر خطی در سازه می‌شود که این رفتار باعث جذب انرژی بیشتری شده و در نتیجه باعث کاهش نیروهای اعمالی بر سازه می‌شود. در مقابل، این امر باعث ایجاد تغییر شکل‌های ماندگار چون نشت و دوران در سازه می‌شود.
- (۲) اختلاف شدید پاسخ سازه با و بدون فرض حرکت گهواره ای نشانگر آن است که روند فعلی طراحی سازه ها (مبتنی بر ضوابط آیین نامه‌ها) دارای حلقه مفقوده ای می‌باشد که این حلقه مفقوده کترول سختی کف ستون و در حالت کلی خاک زیر فونداسیون در مقیاس با سختی سازه (در حالت کلی) می‌باشد که عدم وجود این کترول منجر به آن می‌شود که در مواردی رفتار سازه با رفتار مفروض برای آن کاملاً متفاوت باشد.
- (۳) مقادیر نیرو، اعم از برش پایه، برش طبقات و نیروهای داخلی اعضاء در سازه دارای بلندشدن‌گی در اثر تسلیم شدن کف ستون، کمتر از سازه بدون بلند شدن‌گی و اندرکنش می‌باشد، که نتیجه کمتر شدن سختی جانبی سیستم در اثر بلند شدن‌گی کف ستون می‌باشد.

۷- مراجع

- [1] FEMA440 "Improvement of Nonlinear Static Seismic Analysis Procedures" Prepared by: applied Technology Council (ATC-55 Project). Prepared for: Federal Emergency.
- [2] Housner, G.W., 1963, The Behavior of Inverted Pendulum Structures During Earthquake, Bull. Seismol. Soc. Am., 53(2), 403-417.
- [3] Meek, J.W., "Effects of Foundation Tipping On Dynamic Response." Journal of the Structural Division, ASCE, Vol. 101, No. 7, PP. 1297-1311, July.
- [4] Chopra, A.K., Yim, A.M., Simplified Earthquake Analysis of Multistory Building as with Foundation Uplift Journal of Structural Engineering, ASCE. 111(12), 2708-2731, 1985.
- [5] azetas, G., "Seismic Design of Foundation and Soil – Structure Interaction "First European Conference on Earthquake Engineering and Seismology, Geneva, Switzerland, 3-8 September2006.
- [6] Azuhata, T., Midorikawa, M., Ishihara, T., Wada, A., "Shaking Table Tests on Seismic Response Reduction Effects on Rocking Building Structural Systems"12 WCEE, 2000.
- [7] ABAQUS, "ABAQUS Analysis User's Manual", Version 6.10, (2010)